



Hoja de ruta



Objetivos



Introducción

Fisiopatología, Clasificación FIGO



Hallazgos imagenológicos

y comparativos con la normalidad



MAP score



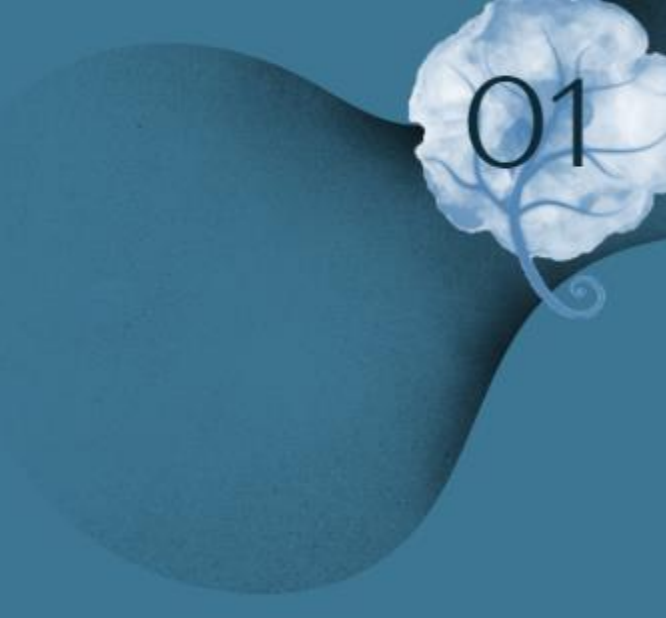
Testeando tu conocimiento casos clínicos



Conclusión

Los autores no presentan conflictos de interés

OBJETIVOS



O1 Reconocer los signos imagenológicos por ultrasonido (US) y su correlato con los hallazgos por (RM) de las patologías dentro del espectro del acretismo placentario.

Repasar los factores de riesgo y fisiopatología de la enfermedad.

O3 Correlacionar con el score de Morbidly Adherent Placenta (MAP) para una evaluación protocolizada.



INTRODUCCIÓN

El espectro de trastornos adherenciales placentarios representa los diferentes grados de invasión excesiva de la placenta, comprometiendo a partir de la decidua en adelante.

Esto predispone a una retención parcial o completa de la placenta al momento del alumbramiento.

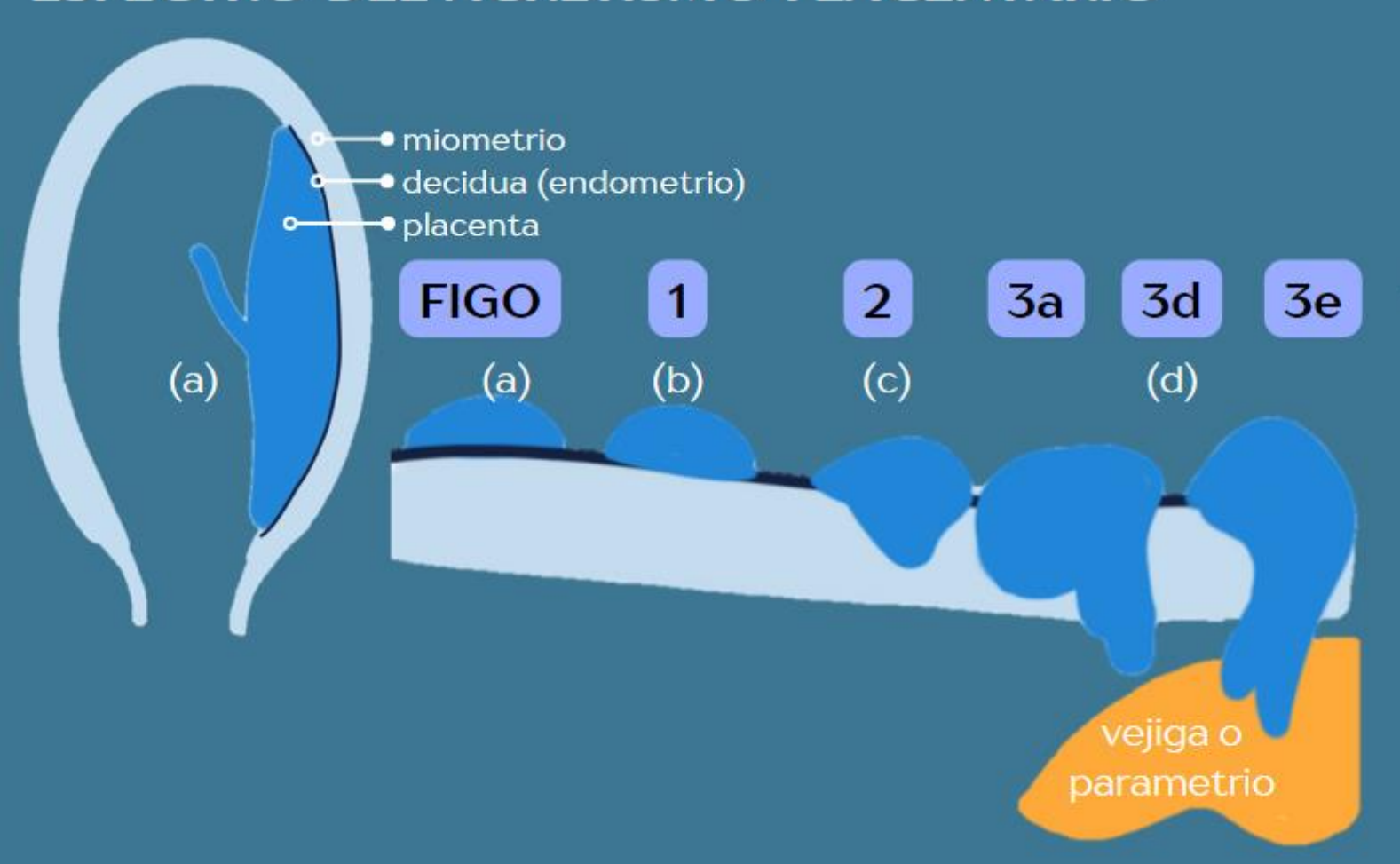
La mortalidad materna incrementa al acercarse al extremo más severo de este espectro.

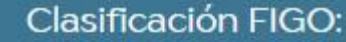
Con una incidencia en aumento, en estrecha relación a un mayor numero de cesareas en embarazos previos, esta patología se relaciona a hallazgos imagenológicos que deben levantar sospecha para un diagnóstico prenatal.

Las imágenes tienen gran implicancia para la detección temprana, el asesoramiento especializado y manejo interdisciplinario.



FISIOPATOLOGÍA: GRADOS DE SEVERIDAD DEL ESPECTRO DEL ACRETISMO PLACENTARIO





Grado 1: mioadherente sin compromenter miometrio

Grado 2: mioinvasiva <25%

Grado 3a: mioinvasiva >25%

Grado 3d: mioinvasiva con disruppción de serosa

Grado 3e: mioinvasiva con invasión extrauterina

- (a) En la normal implantación, la decidua se ve respetada
- (b) mioadherente: invasión decidual "acretismo"
- (c) mioinvasiva: invasión miometrial "incretismo"
- (d) mioinvasiva: Invasión parametrial, vesical u organos vecinos "percretismo"



ULTRASONIDO Y RESONANCIA



Permite el screening en segundo trimestre y pueden evidenciarse signos desde el primer trimestre.

Cuenta con hallazgos en modo B y Doppler color.

Complementaria en la evaluación de estructuras vecinas y el planeamiento quirúrgico, con menor influencia del operador.

Presenta similar sensibilidad y especificidad al US entre las semanas 24 y 30.

HALLAZGOS:

Pérdida del plano hipoecogénico retroplacentario

Adelgazamiento miometrial

Abombamiento uterino "placental bulge"

Interrupción de la pared vesical

Aumento de número y tamaño de lagos placentarios

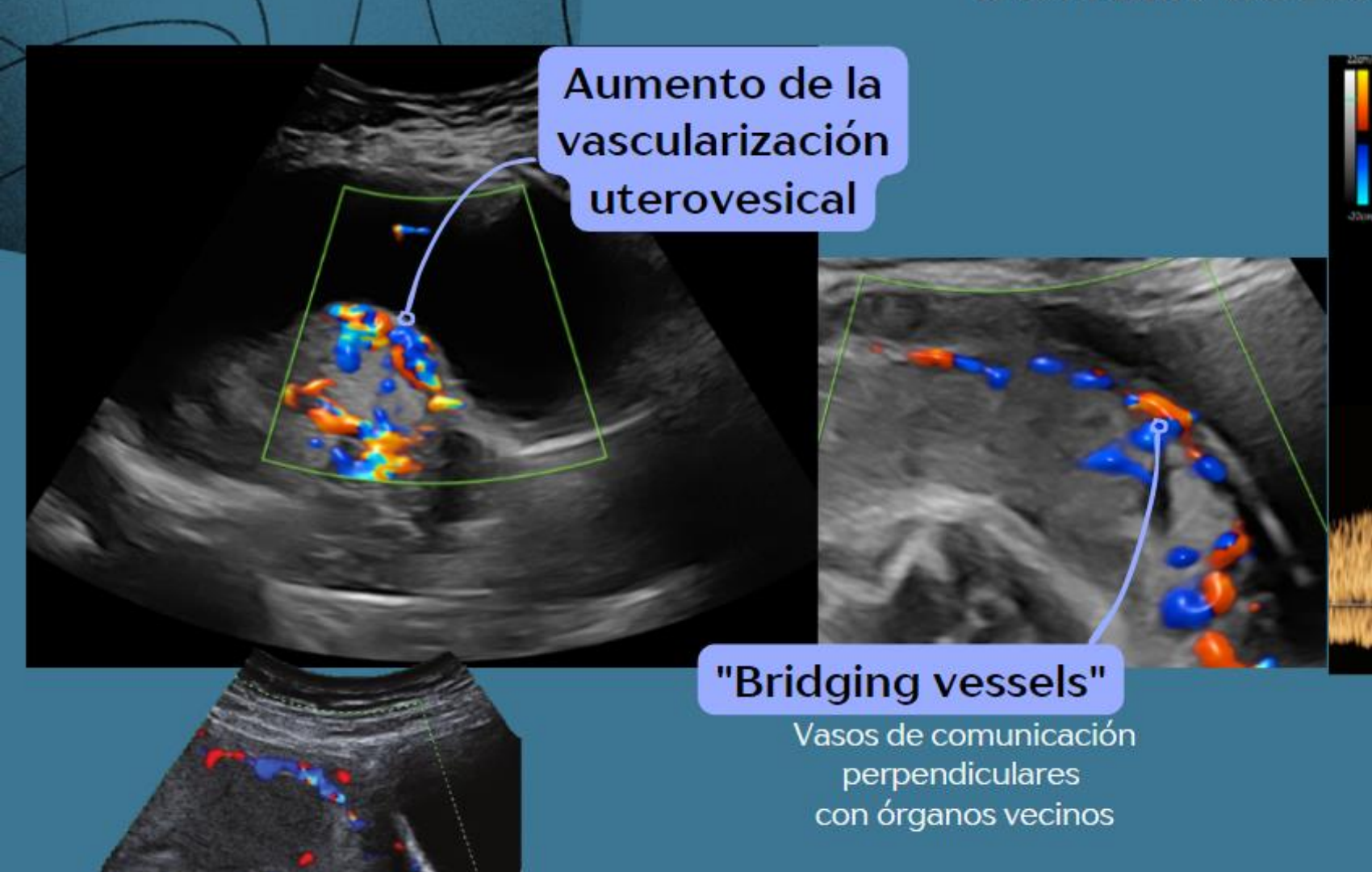
Bridging vessels

Feeder vessels





HALLAZGOS: ULTRASONIDO DOPPLER COLOR Y ESPECTRAL



Vascularización normal



"Feeder vessels" desde lagos placentarios

Vasos de alta velocidad desde el miometrio hacia las lagunas placentarias, generando turbulencia



MAP SCORE: EN SOSPECHA DE TRASTORNO ADHERENCIAL

1	PARÁMETRO	1 PUNTO	2 PUNTOS
	CANTIDAD DE CESAREAS PREVIAS	1	≥ 2
	TAMAÑO DE LAGUNAS PLACENTARIAS	≤ 2 cm	> 2 cm
	NUMERO DE LAGUNAS PLACENTARIAS	≤2	> 2
	PÉRDIDA DE ZONA HIPOECÓICA UTEROPLACENTARIA		SI
	LOCALIZACIÓN PLACENTARIA	ANTERIOR	PREVIA
	DOPPLER DE LA PLACENTA Y ZONA DE INTERFASE	FLUJO EN LAGUNA PLACENTARIA	PLACENTA, INTERFASE O VEJIGA HIPERVASCULARIZADA

MAP score

Puntos de corte

BAJO RIESGO ≤ 5 puntos

MODERADO RIESGO 6-7 puntos

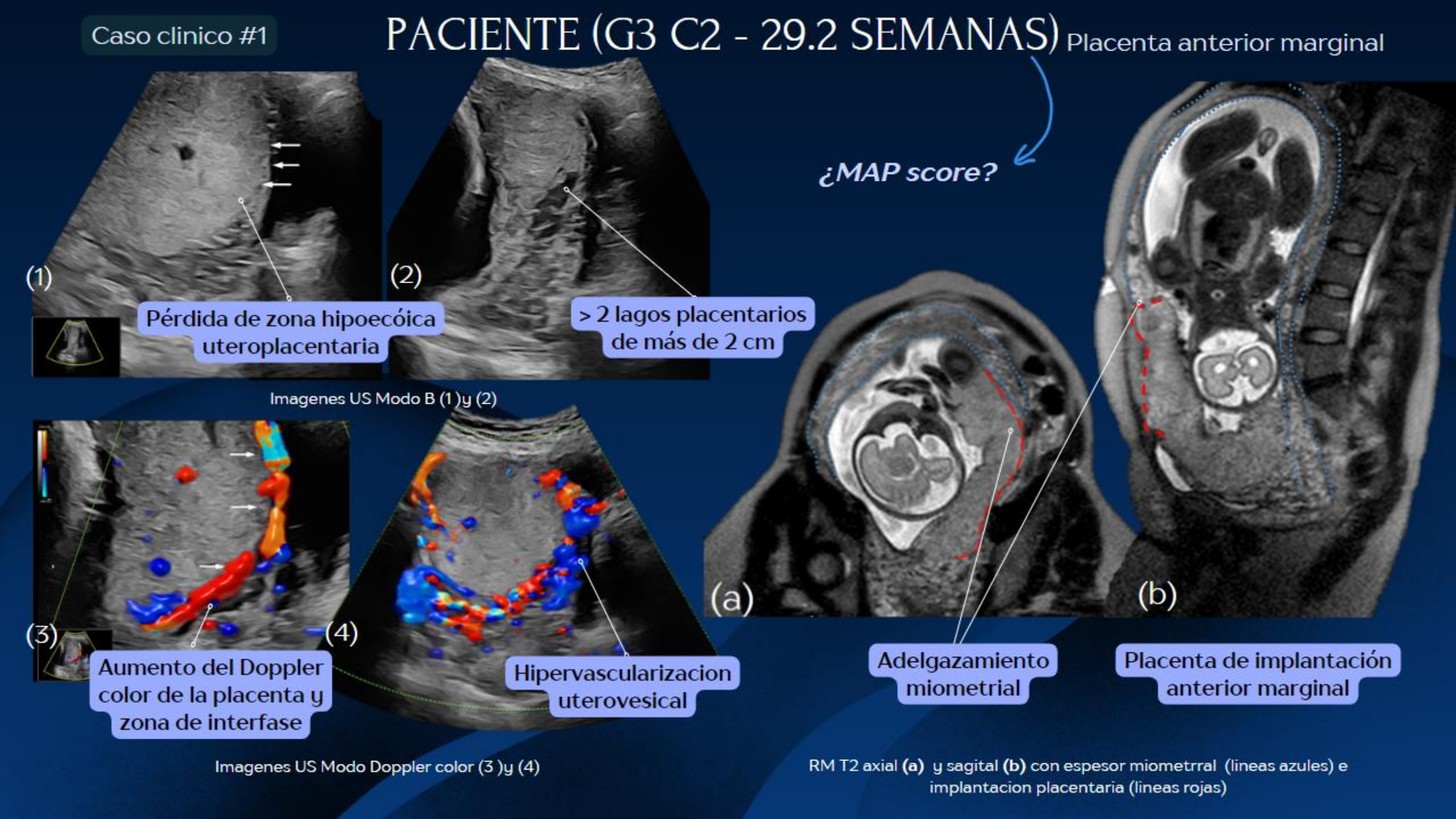
> ALTO RIESGO 8-12 puntos

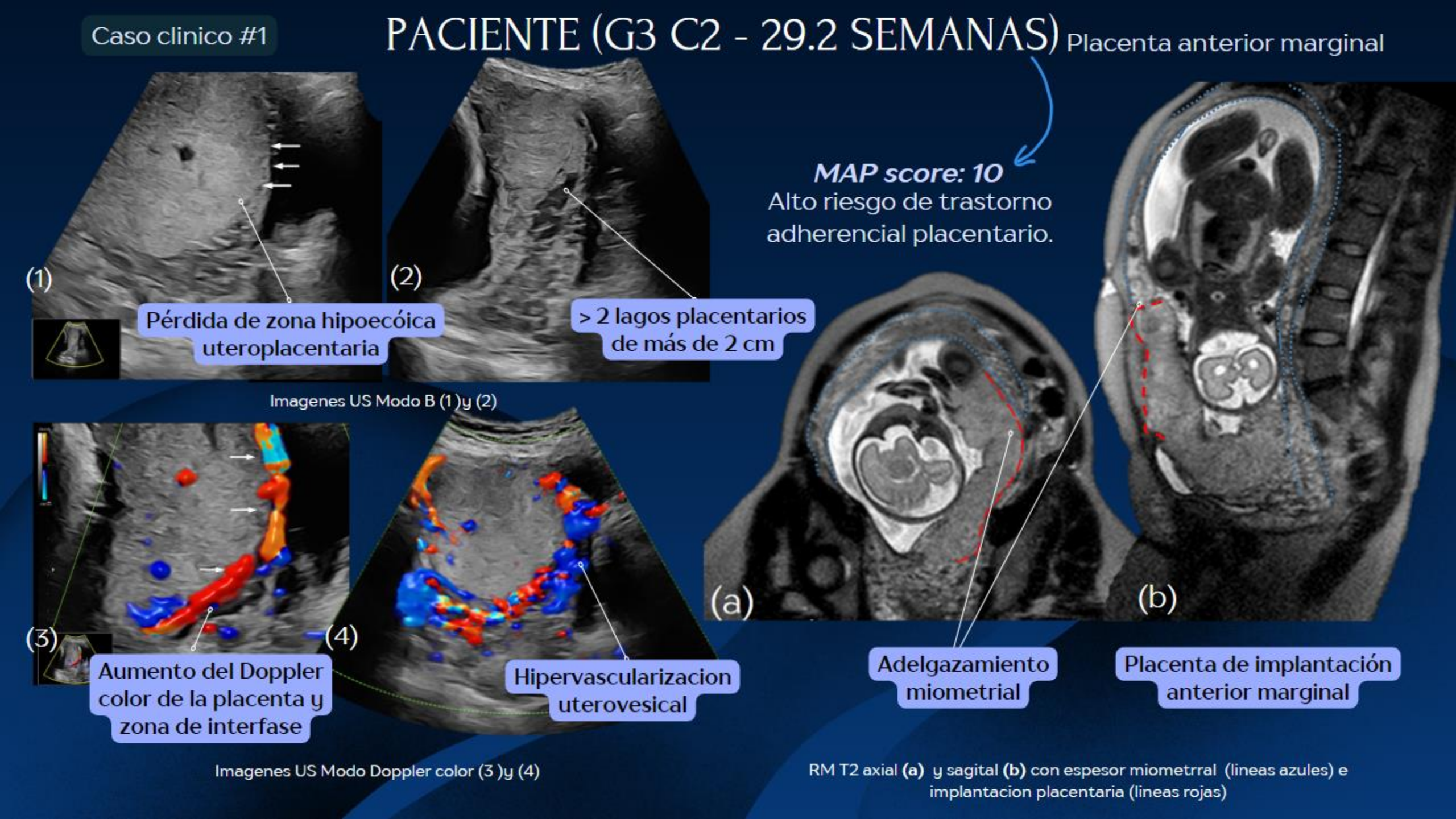


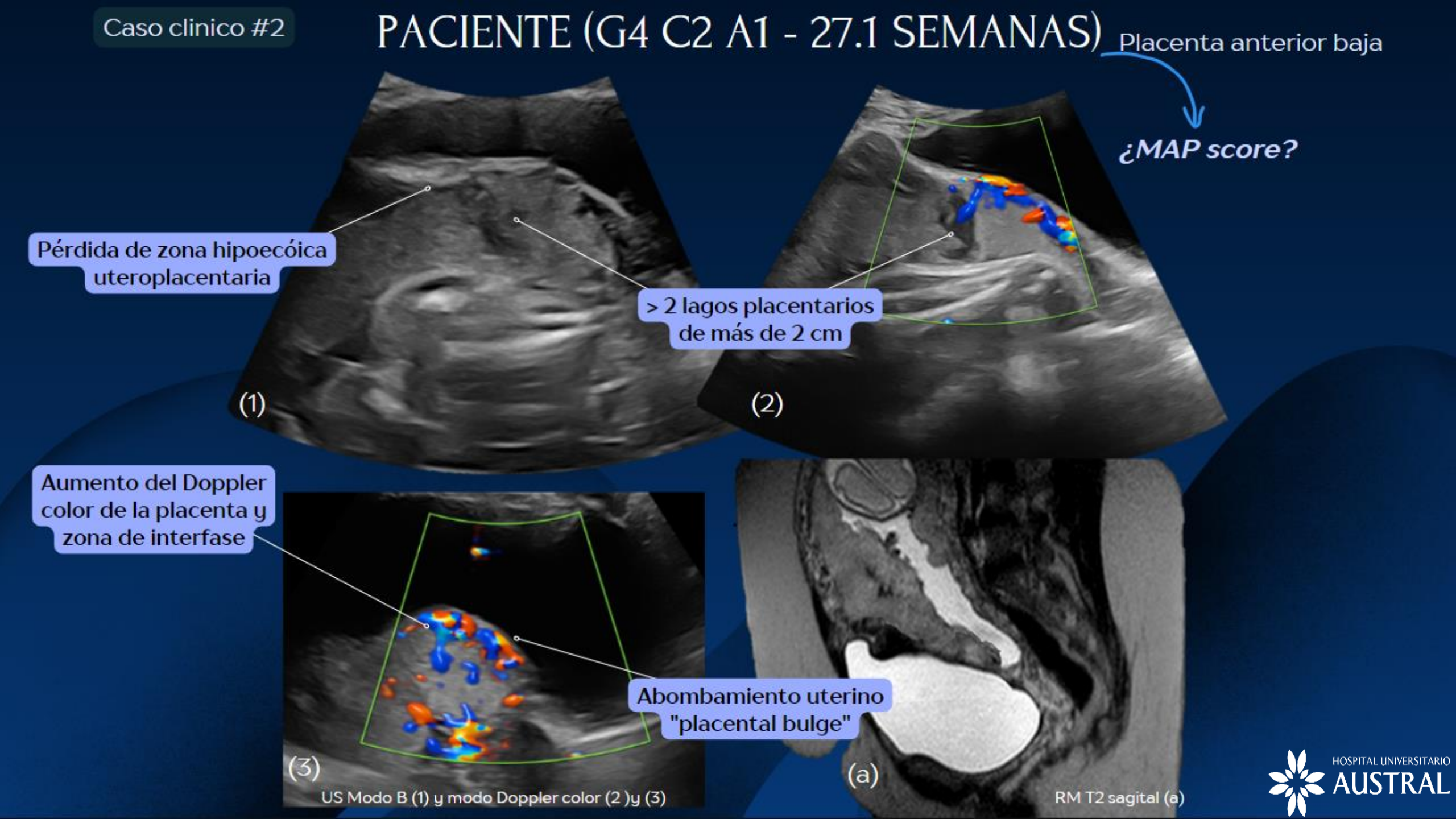


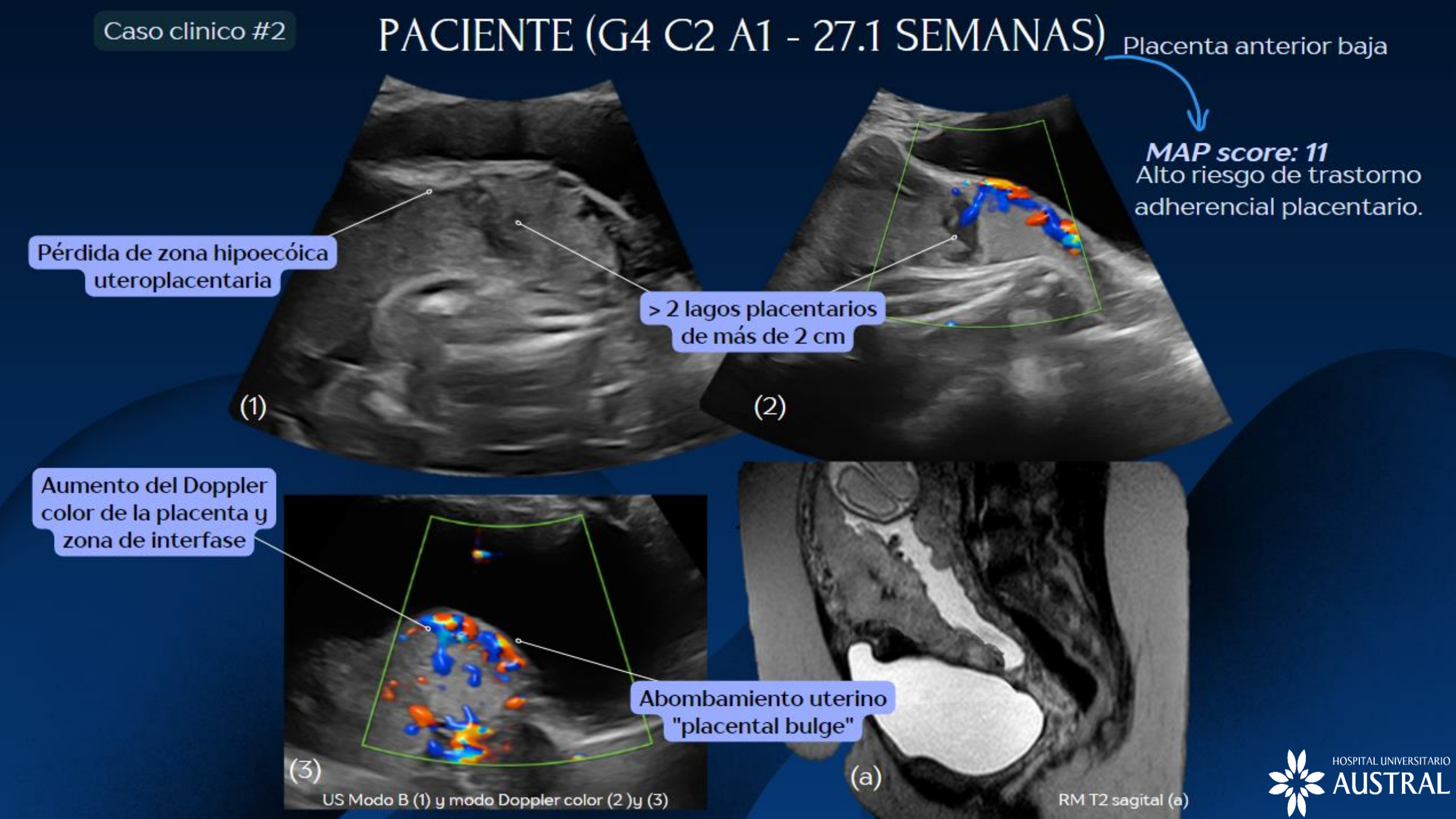
TESTEANDO TU CONOCIMIENTO





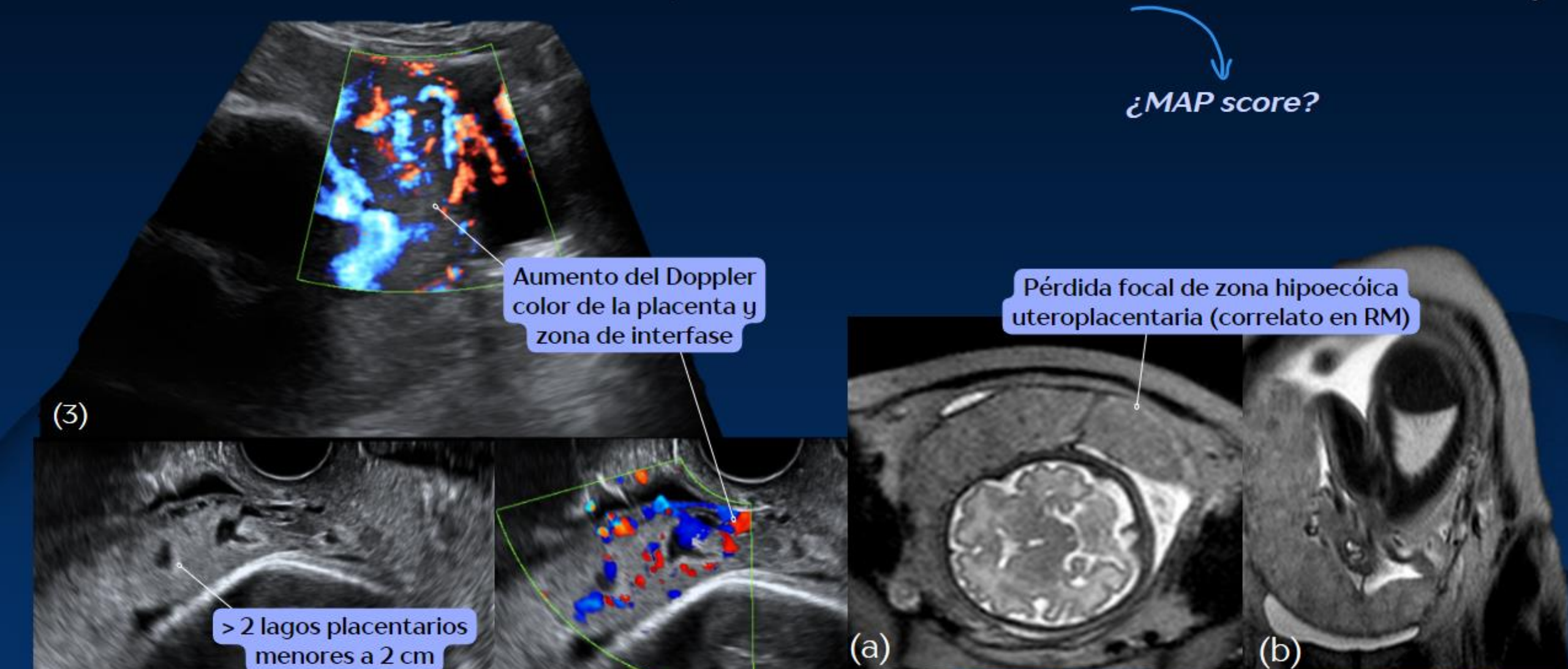






PACIENTE (G3 C2 - 32.5 SEMANAS)

Placenta anterior lateral baja



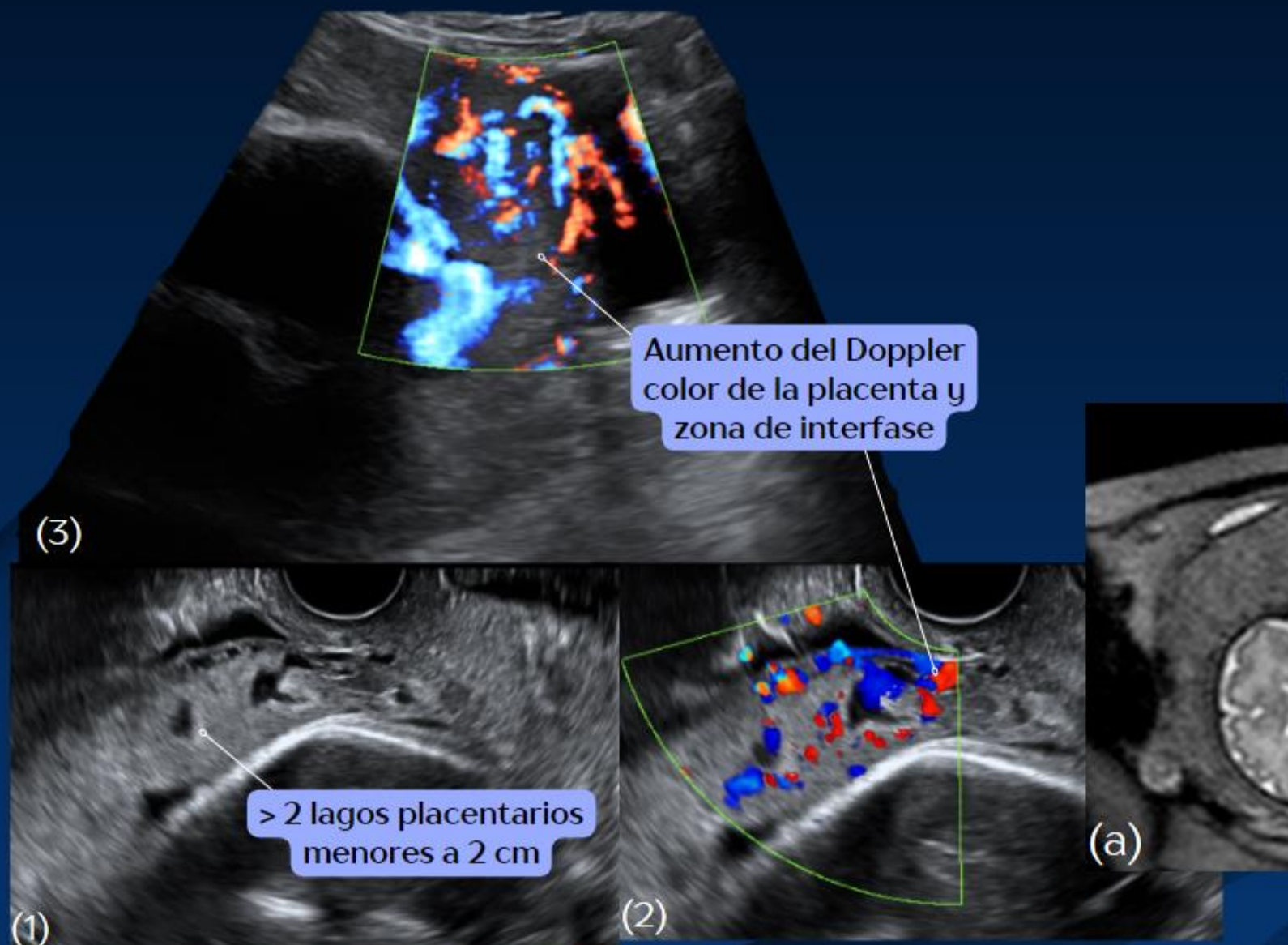
US Modo B (1) y modo Doppler color (2) y (3)



RM T2 axial (a) y coronal (b)

PACIENTE (G3 C2 - 32.5 SEMANAS)

Placenta anterior lateral baja

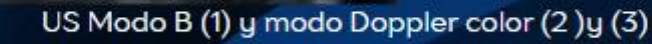


MAP score: 9 Alto riesgo de trastorno adherencial placentario.

Pérdida focal de zona hipoecóica uteroplacentaria (correlato en RM)

(a)

RM T2 axial (a) y coronal (b)





CONCLUSION

La ecografía es la primer línea diagnóstica frente a este espectro de patologías, para luego complementar con la resonancia para un asesoramiento especializado.

El manejo prenatal interdisciplinario busca mejorar la sobrevida materna y fetal.

Es importante que todo radiólogo conozca los hallazgos imagenológicos, así como los factores de riesgo y la fisiopatología para aumentar la sospecha diagnóstica.



BIBLIOGRAFÍA

- Patel-Lippmann, K. K., Planz, V. B., Phillips, C. H., Ohlendorf, J. M., Zuckerwise, L. C., & Moshiri, M. (2023). Placenta Accreta Spectrum Disorders: Update and Pictorial Review of the SAR-ESUR Joint Consensus Statement for MRI. Radiographics, 43(1), E1-E15.
- Collins, S. L., Ashcroft, A., Braun, T., Calda, P., Langhoff-Roos, J., Morel, O., Stefanovic, V., Tutschek, B., & Chantraine, F. (en nombre del European Working Group on Abnormally Invasive Placenta [EW-AIP]). (2016). Proposal for standardized ultrasound descriptors of abnormally invasive placenta (AIP). Ultrasound in Obstetrics & Gynecology
- Jha, P., Poder, L., Bourgioti, C., Bharwani, N., Nougaret, S., Soyer, P., Masselli, G., Lewis, S., Kamath, A., Weston, M., Castillo, R. P., Kido, A. y Forstner, R. (año 2020) Society of Abdominal Radiology (SAR) and European Society of Urogenital Radiology (ESUR) joint consensus statement for MR imaging of placenta accreta spectrum disorders. European Radiology, 29(8), 4097–4105.
- Kilcoyne, A., Shenoy-Bhangle, A. S., Roberts, D. J., Sisodia, R. C., Gervais, D. A., & Lee, S. I. (2014). MRI of Placenta Accreta,
 Placenta Increta, and Placenta Percreta: Pearls and Pitfalls.
- Morel, O., Collins, S. L., Uzan-Augui, J., Masselli, G., Duan, J., Chabot-Lecoanet, A.-C., Braun, T., Langhoff-Roos, J., Soyer, P., Chantraine, F., & for the International Society for Abnormally Invasive Placenta (IS-AIP). (2019). A proposal for standardized magnetic resonance imaging (MRI) descriptors of abnormally invasive placenta (AIP) — From the International Society for AIP. European Journal of Radiology, 121, 108704.
- Rac, M. W. F., Dashe, J. S., Wells, C. E., Moschos, E., McIntire, D. D., & Twickler, D. M. (2014). Ultrasound predictors of placental invasion: the Placenta Accreta Index. American Journal of Obstetrics & Gynecology, 211(3), 299.e1–299.e7.
- Hecht, J. L., Baergen, R., Jauniaux, E., Khong, T. Y., Roberts, D. J., Ernst, L. M., Metlay, L. A., Shainker, S., Katzman, P. J., Poder, L., Heller, D. S., Jacques, S. M., Qureshi, F., Rabban III, J. T. (2020). Classification and reporting guidelines for the pathology diagnosis of placenta accreta spectrum (PAS) disorders: recommendations from an expert panel. Modern Pathology, 33(5), 824-837.